



*Figura 1 – Foto dal centro pista direzione 23*



*Figura 2 – Foto dal centro pista direzione 05*



Figura 3 - Identificazione superficie di decollo 23/atterraggio 05



Figura 4 – Identificazione ostacoli (filare d'alberi) superficie di atterraggio pista 05/decollo 23



*Figura 5 – Identificazione superficie di decollo 05/atterraggio 23*



Figura 6 - Identificazione ostacoli (elettrodotto) superficie di atterraggio pista 23/decollo 05



Figura 7 - Identificazione ostacoli puntuali a destra della pista 05 (torre)



Figura 8 – Identificazione circuiti di traffico

		Circuito P92 (LONG, LAT - degree) (ROSSO in Figura 8)	Circuito C172 (LONG, LAT - degree) (BLU in Figura 8)	Quota terreno circuito P92 [metri]	Quota terreno circuito C172 [metri]	Quota circuito P92 AGL [feet]	Quota circuito C172 AGL [feet]	Quota circuito QFE [feet]
Atterraggio 06/ Decollo 24	A	13.55789106785956,43.10291016713023	13.55792492789828,43.10294098459116	152	152	-	-	-
	B	13.57267092131583,43.11136324230331	13.57536482507941,43.1127755414315	146	142	-	-	-
	C	13.56520337999824,43.1192889794364	13.56620268355237,43.12287061972793	170	211	941	806	1000
	D	13.53541737681065,43.10255628382839	13.52976899191313,43.103264038514	171	183	638	598	700
	E	13.54181006565465,43.09778102849489	13.53663580171772,43.09796728405773	156	159	337	327	350
	F	13.54836791482411,43.09745405959497	13.54841412521333,43.09751182790485	161	161	170	170	200
Atterraggio 24/ Decollo 06	A	13.55789106785956,43.10291016713023	13.55792492789828,43.10294098459116	152	152			
	B	13.57267092131583,43.11136324230331	13.57536482507941,43.1127755414315	146	142	420	433	400
	C	13.56520337999824,43.1192889794364	13.56620268355237,43.12287061972793	170	211	641	506	700
	D	13.53541737681065,43.10255628382839	13.52976899191313,43.103264038514	171	183	938	898	1000
	E	13.54181006565465,43.09778102849489	13.53663580171772,43.09796728405773	156	159	-	-	-
	F	13.54836791482411,43.09745405959497	13.54841412521333,43.09751182790485	161	161	-	-	-

Tabella 1 – Identificazione coordinate circuiti di traffico

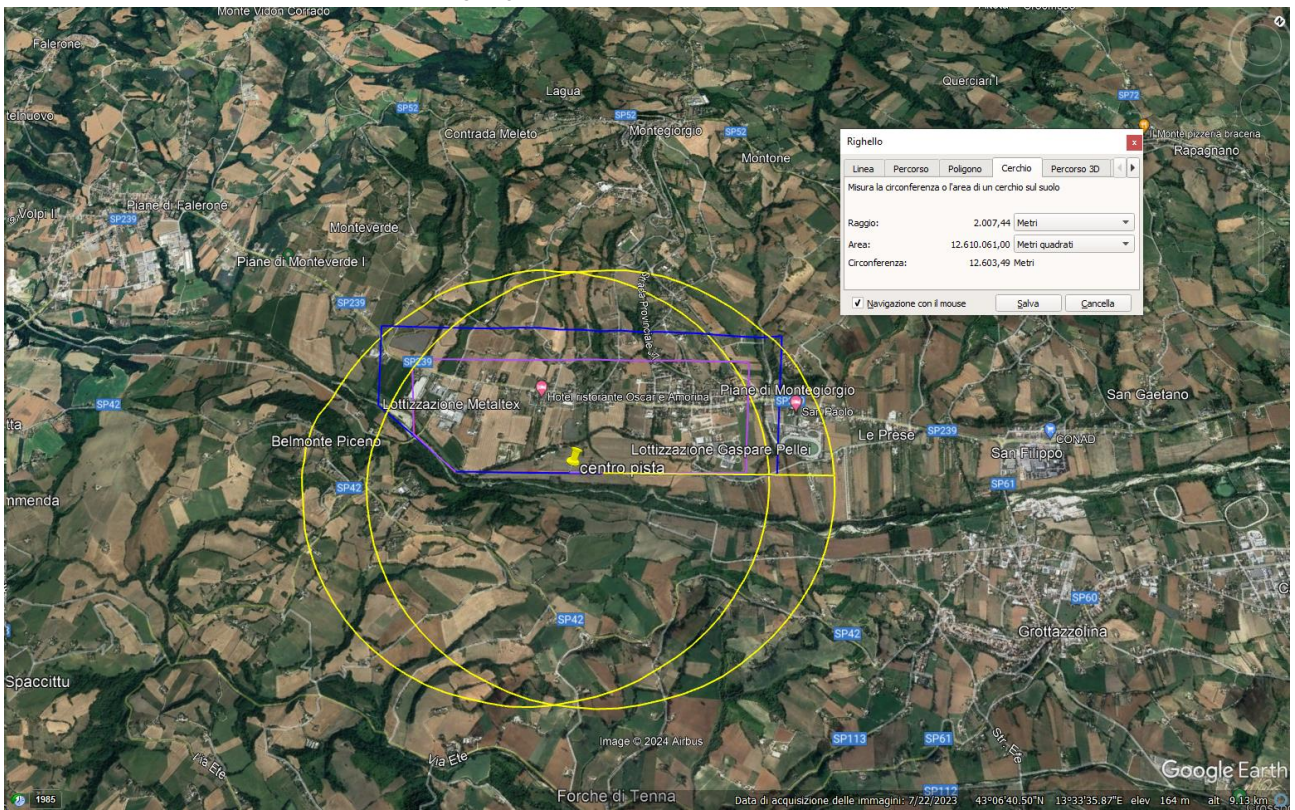


Figura 9 – Identificazione Inner horizontal surface